

Estimateurs statistiques et décompositions directionnelles

Laurent Duval, IFP Energies nouvelles

avec A. Benazza-Benyahia, C. Chaux, J. Gauthier, J.-C. Pesquet

2013

Introduction : plan

- ▶ Estimateurs statistiques standard
- ▶ Décompositions directionnelles multiéchelle
- ▶ Applications au débruitage
- ▶ Conclusions, pointeurs

Applications : motivations initiales

- ▶ Traitement de données volumineuses
 - ▶ variété des types (image, sismique), échantillonnage hétérogènes, anisotropie
- ▶ Besoins
 - ▶ dév. de classes flexibles de transformations (1,2,3-D)
 - ▶ directionnalité, faible redondance, support spatial localisé
 - ▶ (idée de représentations complexes)
 1. bancs de filtres M -bandes complexes suréch. (OSFB)
 2. ondelettes M -bandes en arbre dual (DTT)
- ▶ Débruitage statistique
 - ▶ minimum d'hypothèses a priori (sur le bruit)
 - ▶ lemme de Stein et SURE (Stein Unbiased Risk Estimation)
 1. combinaison linéaire de seuillages (SURE-LET)
 2. estimateur paramétrique "générique"

Applications : méthodologie

Deux approches :

- ▶ une low-cost, avec comparaison analyse/synthèse
 - ▶ trame non-ajustée (effort sur les filtres)
 - ▶ redondance très réduite (< 2)^d
 - ▶ seuillage scalaire par groupes homologues
- ▶ une plus évoluée
 - ▶ trame potentiellement ajustée
 - ▶ redondance faible (2)
 - ▶ multicomposante (couleur), persistance multi-échelle, étalement du bruit

Applications : approche 1

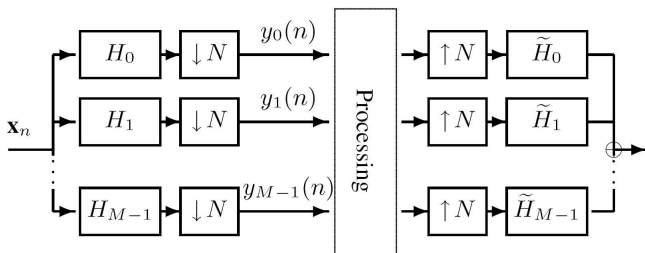


Figure : Banc de filtres redondant complexe (cf. STFT)

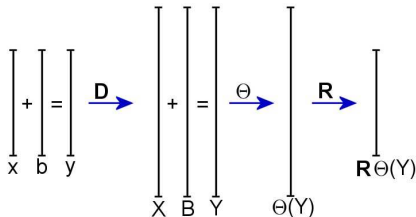
Applications : problème de débruitage

Notation :

$$\begin{array}{c} | \\ | \\ | \\ \hline x \quad b \quad y \end{array} + = \xrightarrow{D} \begin{array}{c} | \\ | \\ | \\ \hline \bar{X} \quad \bar{B} \quad \bar{Y} \end{array} + = \xrightarrow{\Theta} \begin{array}{c} | \\ | \\ | \\ \hline \Theta(Y) \end{array} \xrightarrow{R} \begin{array}{c} | \\ | \\ | \\ \hline R\Theta(Y) \end{array}$$

Applications : problème de débruitage

Notation :



Objectifs :

- ▶ Trouver un estimateur $\mathbf{G}(\mathbf{y})$ de \mathbf{x} minimisant l'erreur quadratique moyenne : $E \left(\|\mathbf{G}(\mathbf{y}) - \mathbf{x}\|^2 \right)$.
- ▶ Trouver un estimateur $\mathbf{F}(\mathbf{Y})$ of \mathbf{X} minimisant l'erreur quadratique moyenne : $E \left(\|\mathbf{F}(\mathbf{Y}) - \mathbf{X}\|^2 \right)$.

Applications : principe de Stein

Lemme ([Stein 1981])

Soit $\mathbf{G} : \mathbb{R}^L \rightarrow \mathbb{R}^L$ une fonction continue, différentiable presque partout, telle que :

1. $E \left(\|\mathbf{G}(\mathbf{y})\|^2 \right) < \infty,$
2. $E \left(\left\| \frac{\partial \mathbf{G}(\mathbf{y})}{\partial \mathbf{y}^\top} \right\|_F \right) < \infty,$
3. $\forall \mathbf{z} \in \mathbb{R}^L, \quad \lim_{\|\mathbf{t}\| \rightarrow +\infty} \mathbf{G}(\mathbf{t}) \exp \left(-\frac{(\mathbf{t} - \mathbf{z})^\top (\boldsymbol{\Gamma}(\mathbf{b}))^{-1} (\mathbf{t} - \mathbf{z})}{2} \right) = \mathbf{0},$

alors :

$$E(\mathbf{G}(\mathbf{y})\mathbf{x}^\top) = E(\mathbf{G}(\mathbf{y})\mathbf{y}^\top) - E \left(\frac{\partial \mathbf{G}(\mathbf{y})}{\partial \mathbf{y}^\top} \right) \boldsymbol{\Gamma}(\mathbf{b}).$$

Applications : SURE-LET

Principe :

- ▶ Considérer plusieurs fonctions (de seuillage) : \mathbf{F}_k or \mathbf{G}_k
- ▶ Combinaison linéaire de différentes fonctions : $\mathbf{F} = \sum_k a_k \mathbf{F}_k$
or $\mathbf{G} = \sum_k a_k \mathbf{G}_k$
- ▶ Pour chaque estimateur de Stein de risque
→ calculer les paramètres a_k (par minimisation)
- ▶ [Pesquet, Leporini 1997], [Raphan, Simoncelli 2006], [Luisier, Blu 2007]

Applications : SURE-LET

Principe :

- ▶ Considérer plusieurs fonctions (de seuillage) : \mathbf{F}_k or \mathbf{G}_k
- ▶ Combinaison linéaire de différentes fonctions : $\mathbf{F} = \sum_k a_k \mathbf{F}_k$
or $\mathbf{G} = \sum_k a_k \mathbf{G}_k$
- ▶ Pour chaque estimateur de Stein de risque
→ calculer les paramètres a_k (par minimisation)
- ▶ [Pesquet, Leporini 1997], [Raphan, Simoncelli 2006], [Luisier, Blu 2007]

Deux applications possibles du principe de Stein :

- ▶ Après reconstruction (sur les échantillons) → fb-sure-let-s.
- ▶ Après décomposition (sur les coefficients) → fb-sure-let-c.

Applications : SURE-LET

Principe :

- ▶ Considérer plusieurs fonctions (de seuillage) : \mathbf{F}_k or \mathbf{G}_k
- ▶ Combinaison linéaire de différentes fonctions : $\mathbf{F} = \sum_k a_k \mathbf{F}_k$
or $\mathbf{G} = \sum_k a_k \mathbf{G}_k$
- ▶ Pour chaque estimateur de Stein de risque
→ calculer les paramètres a_k (par minimisation)
- ▶ [Pesquet, Leporini 1997], [Raphan, Simoncelli 2006], [Luisier, Blu 2007]

Deux applications possibles du principe de Stein :

- ▶ Après reconstruction (sur les échantillons) → fb-sure-let-s.
- ▶ Après décomposition (sur les coefficients) → fb-sure-let-c.

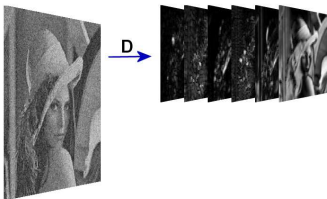
Dans le cas orthogonal → les 2 approches sont identiques.

Applications : SURE et échantillons



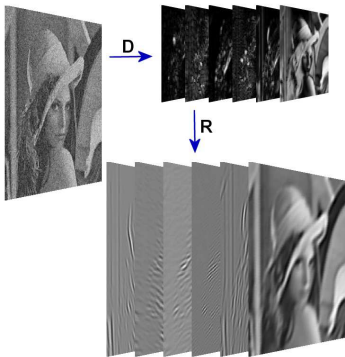
Image bruitée.

Applications : SURE et échantillons



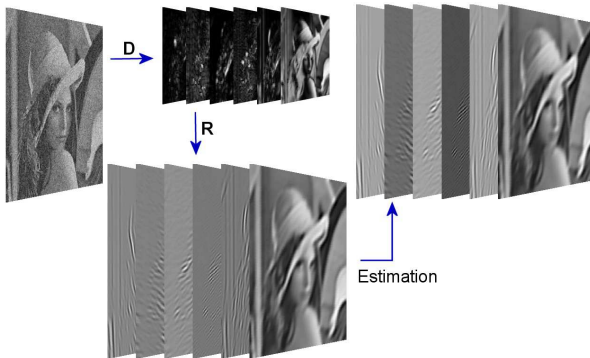
Décomposition.

Applications : SURE et échantillons



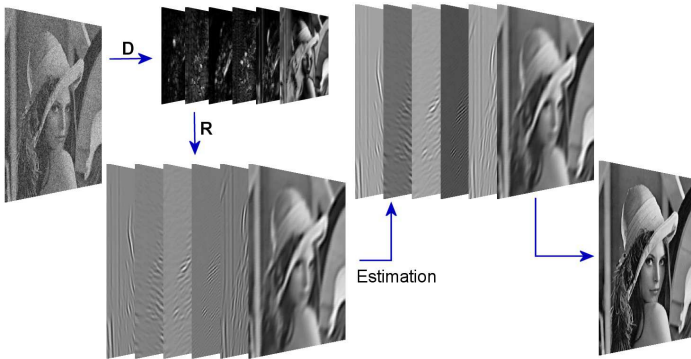
Reconstruction avec les fonctions de seuillage (fonctions \mathbf{G}_k).

Applications : SURE et échantillons



Minimisation de l'estimateur de risque de Stein calculé sur les images reconstruites \rightarrow estimation des paramètres a_k .

Applications : SURE et échantillons



Combinaison linéaire → image débruitée.

Applications : SURE et échantillons

Estimateur :

$$\varepsilon_S = \|\mathbf{G}(\mathbf{y}) - \mathbf{y}\|^2 + 2\sigma^2 \text{div}(\mathbf{G}(\mathbf{y})) - L\sigma^2$$

estimateur non-biaisé de $E\left(\|\mathbf{G}(\mathbf{y}) - \mathbf{x}\|^2\right)$.

Divergence (cas complexe) :

$$\text{div}(\mathbf{G}(\mathbf{y})) = \text{diag}(\mathbf{D}^R \mathbf{R})^\top \underline{\Theta}^{(1)}(\mathbf{Y}^R, \mathbf{Y}^I) + \text{diag}(\mathbf{D}^I \mathbf{R})^\top \underline{\Theta}^{(2)}(\mathbf{Y}^R, \mathbf{Y}^I),$$

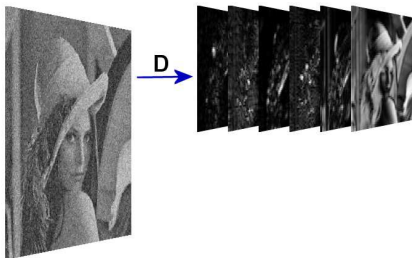
avec \cdot^R : partie réelle et \cdot^I : partie imaginaire.

Applications : SURE et coefficients



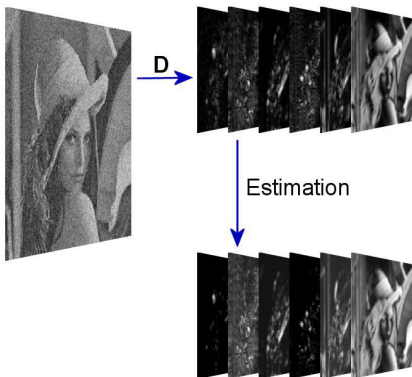
Image bruitée.

Applications : SURE et coefficients



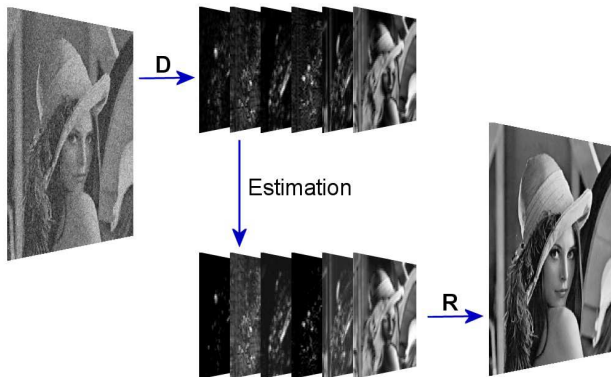
Décomposition et seuillage (fonctions F_k).

Applications : SURE et coefficients



Minimisation de l'estimateur de risque de Stein \rightarrow calcul des paramètres a_k .

Applications : SURE et coefficients



Combinaison linéaire et reconstruction \rightarrow image débruitée.

Applications : SURE et coefficients

Estimateur :

$$\varepsilon_C = \sum_{j=1}^{L'} \left(\left\| \vec{\Theta}_j(\mathbf{Y}_j) - \mathbf{Y}_j \right\|^2 + 2\text{Tr} \left(\frac{\partial \vec{\Theta}_j(\mathbf{Y}_j)}{\partial \mathbf{Y}_j^\top} \boldsymbol{\Gamma}_j \right) - \text{Tr}(\boldsymbol{\Gamma}_j) \right)$$

estimateur non-biaisé $E \left(\|\mathbf{F}(\mathbf{Y}) - \mathbf{X}\|^2 \right)$.

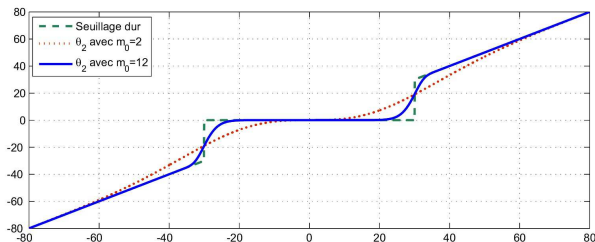
Applications : fonctions “de seuillage”

En chaque coefficient :

$$\theta_1(x, y) = x + iy, \quad \forall (x, y) \in \mathbb{R}^2$$

$$\theta_2(x, y) = (x + iy) \left(1 - e^{-\frac{(x^2+y^2)^{\frac{m_0}{2}}}{(\beta\sigma)^{m_0}}} \right), \quad \forall (x, y) \in \mathbb{R}^2,$$

avec $m_0 \in \mathbb{R}_+^*$ et $\beta \in \mathbb{R}_+^*$.



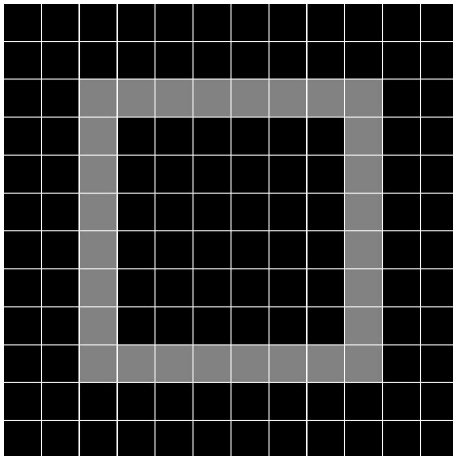
Applications : fonctions “de seuillage”



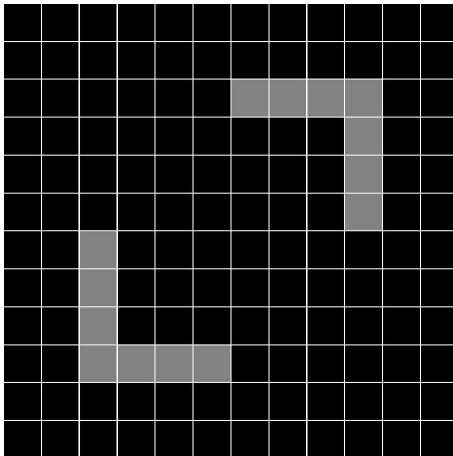
Applications : fonctions “de seuillage”



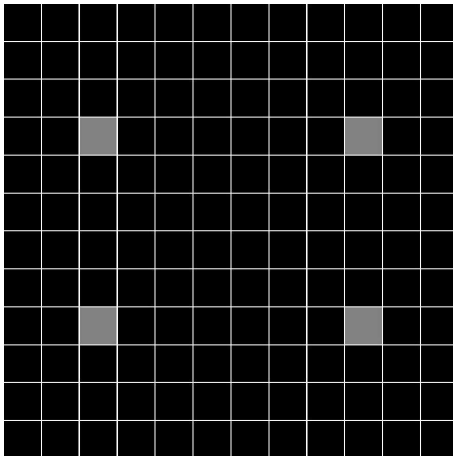
Applications : fonctions “de seuillage”



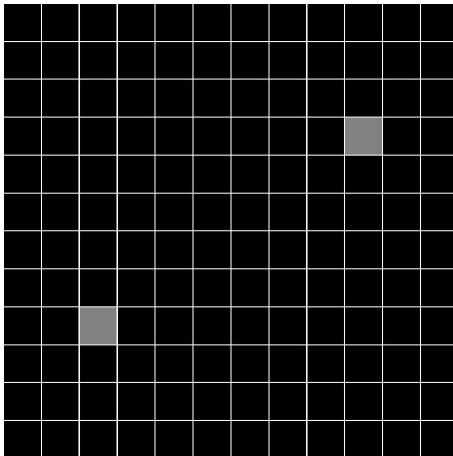
Applications : fonctions “de seuillage”



Applications : fonctions “de seuillage”



Applications : fonctions “de seuillage”



Applications : FB-SURE vs oracle

	<i>Lena</i> 256×256	<i>Lena</i> 512×512
Image bruitée	22.1	22.1
fb-sure-let-s	30.0	31.3
Oracle-S	30.2	31.3
fb-sure-let-c	29.2	30.5
Oracle-C	29.6	30.7

Table : Débruitage (PSNR) avec fb-sure-let-s et fb-sure-let-c ainsi que leurs oracles respectifs pour *Lena* avec un bruit de $\sigma = 20$.

Applications : FB-SURE vs redondance

Redondance k'	5/4	3/2	7/4	2
fb-sure-let-c	16.7	24.3	25.5	25.9
fb-sure-let-s	26.0	26.7	26.9	27.0
Différence	9.3	2.4	1.4	1.1

Redondance k'	9/4	5/2	11/4	3
fb-sure-let-c	26.0	25.7	25.8	27.1
fb-sure-let-s	27.2	26.8	26.9	27.4
Différence	1.2	1.1	1.1	0.3

Table : PSNR (en dB) après reconstruction pour les deux méthodes, pour Lena ($\sigma = 30$), avec $N = 8$, $k = 3$ et différents k' .

Applications : FB-SURE vs redondance

Redondance k'	5/4	3/2	7/4	2
fb-sure-let-c	16.7	24.3	25.5	25.9
fb-sure-let-s	26.0	26.7	26.9	27.0
Différence	9.3	2.4	1.4	1.1

Redondance k'	9/4	5/2	11/4	3
fb-sure-let-c	26.0	25.7	25.8	27.1
fb-sure-let-s	27.2	26.8	26.9	27.4
Différence	1.2	1.1	1.1	0.3

Table : PSNR (en dB) après reconstruction pour les deux méthodes, pour Lena ($\sigma = 30$), avec $N = 8$, $k = 3$ et différents k' .

Ratio temps de calcul fb-sure-let-cvs fb-sure-let-s: 1/12

Applications : FB-SURE vs. autres méthodes

σ	10	20	30	40	50
Image bruitée	28.1	22.1	18.6	16.1	14.2
Lena					
<i>Curvelets</i>	33.0	29.3	27.3	25.9	24.8
<i>SureShrink CS</i>	32.6	28.9	26.4	25.5	24.0
<i>BiShrink</i>	32.8	29.0	26.9	25.5	24.6
<i>UWT sure-let</i>	33.0	29.4	27.4	26.1	25.2
fb-sure-let-c	33.0	29.3	27.1	25.5	24.3
fb-sure-let-s	33.8	30.0	28.0	26.4	25.3
Barbara					
<i>Curvelets</i>	31.2	27.2	25.1	23.6	22.6
<i>SureShrink CS</i>	30.7	26.5	24.1	21.9	21.4
<i>BiShrink</i>	30.1	26.6	24.4	23.1	22.2
<i>UWT sure-let</i>	30.8	26.4	24.3	23.2	22.4
fb-sure-let-c	31.6	27.6	25.4	23.7	22.3
fb-sure-let-s	32.2	28.3	26.2	24.7	23.6

Applications : résultats visuels



Original



Bruitée



BiShrink



Curvelets



UWT sure-let



fb-sure-let-c

Applications : résultats visuels



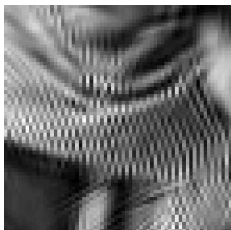
Original



Bruitée



BiShrink



Curvelets

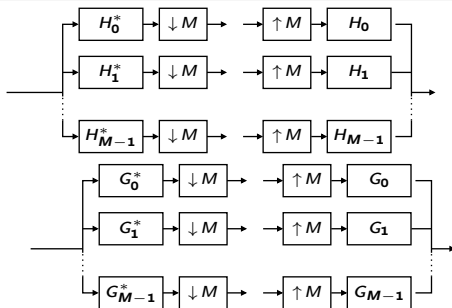


UWT sure-let



fb-sure-let-s

Applications : approche 2



Objectif

$\forall M \geq 2$ et $M \in \mathbb{N}$, construire une décomposition en ondelettes M -bandes orthogonale "duale" associée à la fonction d'échelle ψ_0^H et aux ondelettes mères ψ_m^H , où

$$\forall m \in \{1, \dots, M-1\}, \quad \widehat{\psi}_m^H(\omega) = -i \operatorname{sign}(\omega) \widehat{\psi}_m(\omega)$$

$G_m, m \in \{0, \dots, M-1\}$: filtres associés à la décomposition duale.

Applications : M -bandes en arbre dual

- ▶ Décomposition en ondelettes M -bandes orthogonales of $L^2(\mathbb{R})$
 - ▶ deux ensembles de filtres : $(H_m)_{0 \leq m < M}$ and $(G_m)_{0 \leq m < M}$
 - ▶ deux bases : $(\psi_m)_{0 \leq m < M}$ and $(\psi_m^H)_{0 \leq m < M}$
- ▶ Conditions d'orthogonalité

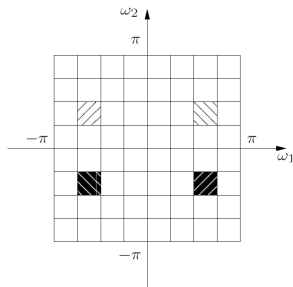
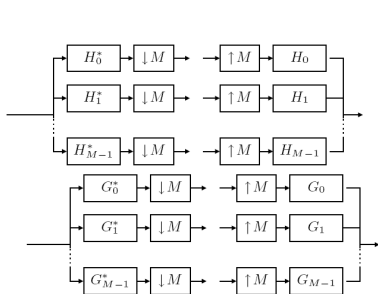
$$\sum_{p=0}^{M-1} \{\tilde{H}_m \parallel \tilde{G}_m\}(\omega + p \frac{2\pi}{M}) \{H_{m'}^* \parallel G_{m'}^*\}(\omega + p \frac{2\pi}{M}) = M \delta_{m-m'}.$$

- ▶ Équations d'échelle

$$\begin{aligned} \forall m \in \mathbb{N}_M, \quad \sqrt{M} \hat{\psi}_m(M\omega) &= H_m(\omega) \hat{\psi}_0(\omega), \\ \sqrt{M} \hat{\psi}_m^H(M\omega) &= G_m(\omega) \hat{\psi}_0^H(\omega), \end{aligned}$$

- ▶ Conditions de paires de Hilbert

$$\forall m \in \mathbb{N}_M^*, \quad \hat{\psi}_m^H(\omega) = -i \operatorname{sign}(\omega) \hat{\psi}_m(\omega)$$

Applications : M -bandes en arbre dualOndelettes dual-tree M -bandes

Quadrant fréquentiel, 4-bandes

Applications : M -bandes en arbre dual

- ▶ **Avantages** en M -bandes ($M > 2$) :
 - ▶ décomposition plus précise dans le domaine fréquentiel
 - ▶ plus grande liberté dans le choix des filtres M -bandes \iff ondelettes symétriques et orthogonales, à support compact

Applications : M -bandes en arbre dual

- ▶ **Avantages** en M -bandes ($M > 2$) :
 - ▶ décomposition plus précise dans le domaine fréquentiel
 - ▶ plus grande liberté dans le choix des filtres M -bandes \iff ondelettes symétriques et orthogonales, à support compact
- ▶ **Avantages** de la construction **duale** :
 - ▶ quasi invariance par translation
 - ▶ directionnalité en 2D
- ▶ $M = 2$: [Kingsbury, 1998] [Selesnick, 2001]

Applications : M -bandes en arbre dual

- ▶ **Avantages** en M -bandes ($M > 2$) :
 - ▶ décomposition plus précise dans le domaine fréquentiel
 - ▶ plus grande liberté dans le choix des filtres M -bandes \iff ondelettes symétriques et orthogonales, à support compact
- ▶ **Avantages** de la construction **duale** :
 - ▶ quasi invariance par translation
 - ▶ directionnalité en 2D
- ▶ $M = 2$: [Kingsbury, 1998] [Selesnick, 2001]

Transformée géométrique basée sur des bancs de filtres M -bandes ayant une faible redondance (facteur 2) [Chaux *et al.*, 2006]

Bases — 1-D

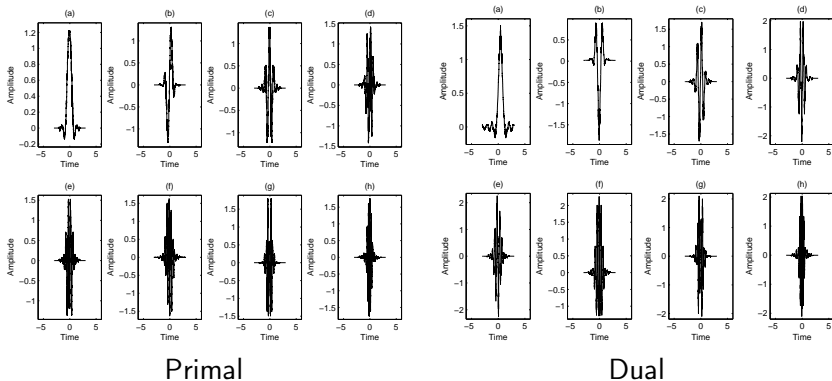
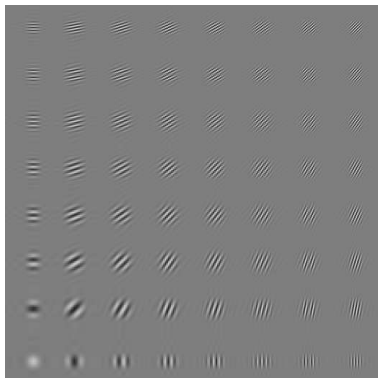
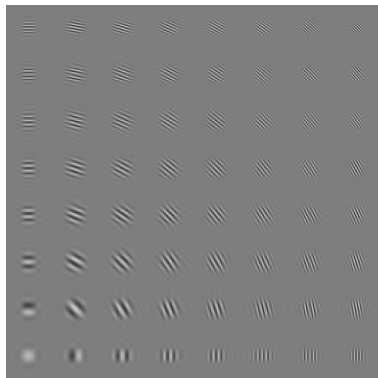


Figure : En 8 bandes

Bases — 2-D



Dir. positive



Dir. négative

Figure : En 8 bandes

Propriétés du bruit

En présence d'un bruit blanc : pour tout $\ell = (\ell_1, \ell_2) \in \mathbb{Z}^2$,

- ▶ Dans le cas 1D : pour tout $(m, m') \in \{0, \dots, M-1\}^2$ et $\ell \in \mathbb{Z}$,

$$\Gamma_{n_{j,m}, n_{j,m'}}(\ell) = \Gamma_{n_{j,m}^H, n_{j,m'}^H}(\ell) = \sigma^2 \delta_{m-m'} \delta_\ell$$

$$\Gamma_{n_{j,m}, n_{j,m'}^H}(\ell) = \sigma^2 \gamma_{\psi_m, \psi_{m'}^H}(-\ell),$$

Propriétés du bruit

En présence d'un bruit blanc : pour tout $\ell = (\ell_1, \ell_2) \in \mathbb{Z}^2$,

- ▶ Dans le cas $1D$: pour tout $(m, m') \in \{0, \dots, M-1\}^2$ et $\ell \in \mathbb{Z}$,

$$\Gamma_{n_{j,m}, n_{j,m'}}(\ell) = \Gamma_{n_{j,m}^H, n_{j,m'}^H}(\ell) = \sigma^2 \delta_{m-m'} \delta_\ell$$

$$\Gamma_{n_{j,m}, n_{j,m'}^H}(\ell) = \sigma^2 \gamma_{\psi_m, \psi_{m'}^H}(-\ell),$$

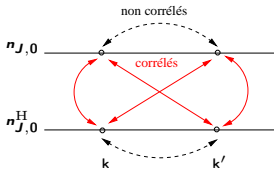
- ▶ Dans le cas $2D$: pour tout $(\mathbf{m}, \mathbf{m}') \in \{0, \dots, M-1\}^2 \times \{0, \dots, M-1\}^2$ et $\ell \in \mathbb{Z}^2$,

$$\Gamma_{n_{j,\mathbf{m}}, n_{j,\mathbf{m}'}}(\ell) = \Gamma_{n_{j,\mathbf{m}}^H, n_{j,\mathbf{m}'}^H}(\ell) = \sigma^2 \delta_{m_1-m'_1} \delta_{m_2-m'_2} \delta_{\ell_1} \delta_{\ell_2}$$

$$\Gamma_{n_{j,\mathbf{m}}, n_{j,\mathbf{m}'}^H}(\ell) = \sigma^2 \gamma_{\psi_{m_1}, \psi_{m'_1}^H}(-\ell_1) \gamma_{\psi_{m_2}, \psi_{m'_2}^H}(-\ell_2)$$

Rque : La comb. lin. des sous-bandes annule les corrélations inter-arbres à une position spatiale \mathbf{k} donnée mais crée des corrélations spatiales.

Résumé



Coefficients d'approximation

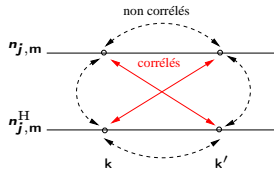
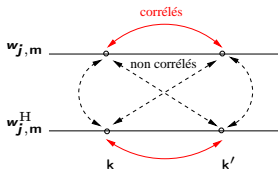
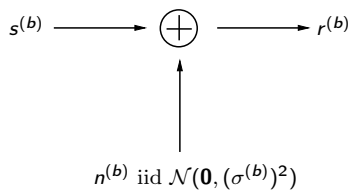
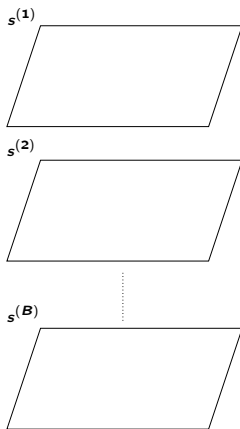
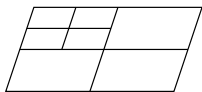
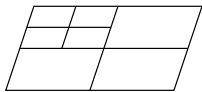
Coefficients de détails ($m \neq 0$)Coefficients de détails avec $m_1 m_2 \neq 0$

Schéma des corrélations inter-arbres pour une sous-bande (j, m) donnée, avant (haut) et après (bas) isométrie [Chaux, 2007].

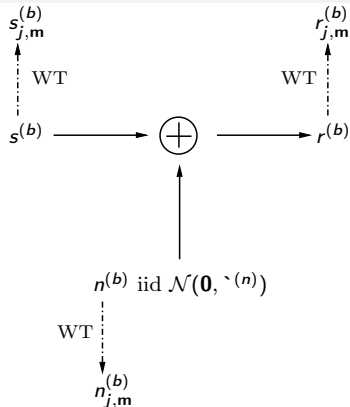
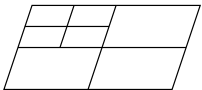
Imagerie multi-canaux



Imagerie multi-canaux



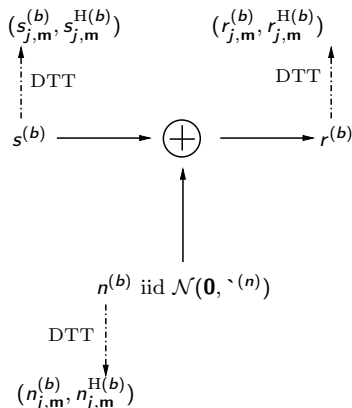
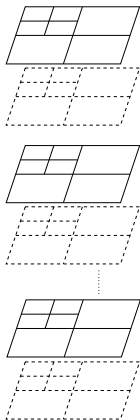
⋮



Objectif :

Construire un estimateur $\hat{s}_{j,m}^{(b)}$ des coef. d'ondelettes $s_{j,m}^{(b)}$ de $s^{(b)}$ à partir des coefficients d'ondelettes observés $r_{j,m}^{(b')}$ de tous les canaux b' .

Imagerie multi-canaux

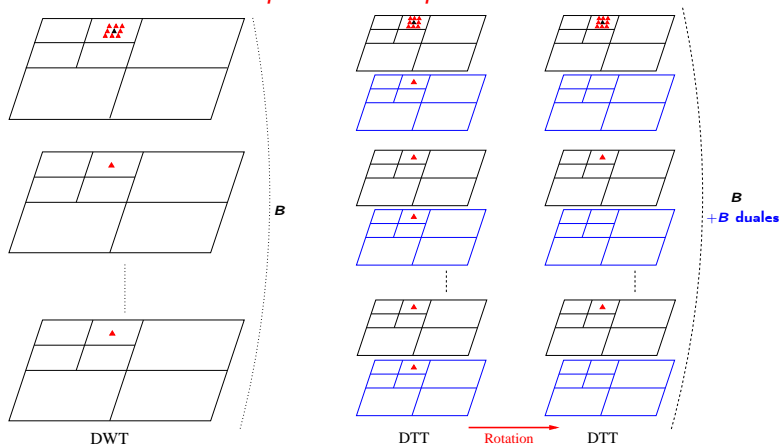


Objectif :

Construire un estimateur $\hat{s}_{j,m}^{(b)}$ (resp. $\hat{s}_{j,m}^{H(b)}$) des coef. issus de la DTT $s_{j,m}^{(b)}$ (resp. $s_{j,m}^{H(b)}$) de $s^{(b)}$ (resp. $s^{H(b)}$) à partir des coef. observés $r_{j,m}^{(b)}$ et $r_{j,m}^{H(b)}$.

Voisinage

$\bar{r}_{j,m}^{(b)}(\mathbf{k})$: coefficients observés utilisés au débruitage de $s_{j,m}^{(b)}(\mathbf{k})$ (ROV). On a choisi un voisinage de d coefficients combinant des informations *inter-composantes et spatiales* :



Estimateurs: point de départ

- Neighblock [Cai et Silverman, 2001]:

Étude asymptotique minimax

$$\hat{\mathbf{s}}_{j,\mathbf{m}}^{(b)}(\mathbf{k}) = \left(\frac{\|\mathbf{r}_{j,\mathbf{m}}^{(b)}(\mathbf{k})\|^2 - \lambda}{\|\mathbf{r}_{j,\mathbf{m}}^{(b)}(\mathbf{k})\|^2} \right)_+ \mathbf{r}_{j,\mathbf{m}}^{(b)}(\mathbf{k})$$

Estimateurs: point de départ

- ▶ Neighblock [Cai et Silverman, 2001]:

Étude asymptotique minimax

$$\hat{s}_{j,m}^{(b)}(\mathbf{k}) = \left(\frac{\|r_{j,m}^{(b)}(\mathbf{k})\|^2 - \lambda}{\|r_{j,m}^{(b)}(\mathbf{k})\|^2} \right)_+ r_{j,m}^{(b)}(\mathbf{k})$$

- ▶ Seuillage bivarié [Sendur et Selesnick, 2002]:

Approche bayésienne

$$\hat{s}_{j,m}^{(b)}(\mathbf{k}) = \left(\frac{\sqrt{(r_{j,m}^{(b)}(\mathbf{k}))^2 + (r_{j+1,m}^{(b)}(\lceil \frac{\mathbf{k}}{2} \rceil))^2} - \lambda}{\sqrt{(r_{j,m}^{(b)}(\mathbf{k}))^2 + (r_{j+1,m}^{(b)}(\lceil \frac{\mathbf{k}}{2} \rceil))^2}} \right)_+ r_{j,m}^{(b)}(\mathbf{k})$$

où

$$(f)_+ = \begin{cases} f & \text{si } f > 0 \\ 0 & \text{sinon} \end{cases}$$

→ On omettra les indices j, \mathbf{m} dans la suite.

Estimateur proposé

- Fonction de seuillage généralisée $\eta_\lambda(\|\mathbf{r}^{(b)}(\mathbf{k})\|^\beta)$, où:

$$\forall \tau \in \mathbb{R}_+,$$

$$\eta_\lambda(\tau) = \left(\frac{\tau - \lambda}{\tau} \right)_+$$

et $\beta > 0$ et $\lambda \geq 0$.

Estimateur proposé

- Fonction de seuillage généralisée $\eta_\lambda(\|\bar{\mathbf{r}}^{(b)}(\mathbf{k})\|^\beta)$, où:

$$\forall \tau \in \mathbb{R}_+, \quad \eta_\lambda(\tau) = \left(\frac{\tau - \lambda}{\tau} \right)_+$$

et $\beta > 0$ et $\lambda \geq 0$.



$$\hat{s}^{\lambda^{(b)}}(\mathbf{k}) = f(\bar{\mathbf{r}}(\mathbf{k})) = \eta_{\lambda^{(b)}}(\|\bar{\mathbf{r}}^{(b)}(\mathbf{k})\|^{\beta^{(b)}}) (\mathbf{q}^{(b)})^\top \bar{\mathbf{r}}^{(b)}(\mathbf{k})$$

où $\mathbf{q}^{(b)}$: vecteur de même taille que le ROV, $\beta^{(b)} > 0$,
 $\lambda^{(b)} \geq 0$.

Calcul des paramètres

- ▶ $\lambda^{(b)} \iff$ valeur de seuil (seuillage doux de $\|r^{(b)}(\mathbf{k})\|^{\beta^{(b)}}$)

Calcul des paramètres

- ▶ $\lambda^{(b)} \iff$ valeur de seuil (seuillage doux de $\|\mathbf{r}^{(b)}(\mathbf{k})\|^{\beta^{(b)}}$)
- ▶ Objectif :
 - ▶ Trouver la valeur du seuil $\lambda^{(b)}$
 - ▶ Trouver le paramètre exposant $\beta^{(b)}$
 - ▶ Trouver le vecteur $\mathbf{q}^{(b)}$ servant à la combinaison linéaire

Calcul des paramètres

- ▶ $\lambda^{(b)} \iff$ valeur de seuil (seuillage doux de $\|\bar{\mathbf{r}}^{(b)}(\mathbf{k})\|^{\beta^{(b)}}$)
- ▶ Objectif :
 - ▶ Trouver la valeur du seuil $\lambda^{(b)}$
 - ▶ Trouver le paramètre exposant $\beta^{(b)}$
 - ▶ Trouver le vecteur $\mathbf{q}^{(b)}$ servant à la combinaison linéaire

minimisant l'erreur quadratique moyenne:

$$\begin{aligned} R(\lambda, \beta, \mathbf{q}) &= E[|s^{(b)}(\mathbf{k}) - \hat{s}^{\lambda^{(b)}}(\mathbf{k})|^2] \\ &= E[|s^{(b)}(\mathbf{k})|^2] + E[|f(\bar{\mathbf{r}}^{(b)}(\mathbf{k}))|^2] - 2E[f(\bar{\mathbf{r}}^{(b)}(\mathbf{k}))s^{(b)}(\mathbf{k})]. \end{aligned}$$

Calcul des paramètres

- ▶ $\lambda^{(b)} \iff$ valeur de seuil (seuillage doux de $\|\bar{\mathbf{r}}^{(b)}(\mathbf{k})\|^{\beta^{(b)}}$)
- ▶ Objectif :
 - ▶ Trouver la valeur du seuil $\lambda^{(b)}$
 - ▶ Trouver le paramètre exposant $\beta^{(b)}$
 - ▶ Trouver le vecteur $\mathbf{q}^{(b)}$ servant à la combinaison linéaire

minimisant l'erreur quadratique moyenne:

$$\begin{aligned}
 R(\lambda, \beta, \mathbf{q}) &= E[|s^{(b)}(\mathbf{k}) - \hat{s}^{(b)}(\mathbf{k})|^2] \\
 &= E[|s^{(b)}(\mathbf{k})|^2] + E[|f(\bar{\mathbf{r}}^{(b)}(\mathbf{k}))|^2] - 2E[f(\bar{\mathbf{r}}^{(b)}(\mathbf{k}))s^{(b)}(\mathbf{k})].
 \end{aligned}$$

❗ $s^{(b)}$ est inconnu : utilisation du Principe de Stein.

Principe de Stein

$$\forall \mathbf{k} \in \mathbb{Z}^2, \quad \bar{\mathbf{r}}^{(b)}(\mathbf{k}) = \bar{\mathbf{s}}^{(b)}(\mathbf{k}) + \bar{\mathbf{n}}^{(b)}(\mathbf{k}),$$

$$\bar{\mathbf{r}}^{(b)}(\mathbf{k}) = \begin{bmatrix} r^{(b)}(\mathbf{k}) \\ \tilde{r}^{(b)}(\mathbf{k}) \end{bmatrix}, \quad \bar{\mathbf{s}}^{(b)}(\mathbf{k}) = \begin{bmatrix} s^{(b)}(\mathbf{k}) \\ \tilde{s}^{(b)}(\mathbf{k}) \end{bmatrix}, \quad \bar{\mathbf{n}}^{(b)}(\mathbf{k}) = \begin{bmatrix} n^{(b)}(\mathbf{k}) \\ \tilde{n}^{(b)}(\mathbf{k}) \end{bmatrix}$$

Principe de Stein

$$\forall \mathbf{k} \in \mathbb{Z}^2, \quad \bar{\mathbf{r}}^{(b)}(\mathbf{k}) = \bar{\mathbf{s}}^{(b)}(\mathbf{k}) + \bar{\mathbf{n}}^{(b)}(\mathbf{k}),$$

$$\bar{\mathbf{r}}^{(b)}(\mathbf{k}) = \begin{bmatrix} r^{(b)}(\mathbf{k}) \\ \tilde{r}^{(b)}(\mathbf{k}) \end{bmatrix}, \quad \bar{\mathbf{s}}^{(b)}(\mathbf{k}) = \begin{bmatrix} s^{(b)}(\mathbf{k}) \\ \tilde{s}^{(b)}(\mathbf{k}) \end{bmatrix}, \quad \bar{\mathbf{n}}^{(b)}(\mathbf{k}) = \begin{bmatrix} n^{(b)}(\mathbf{k}) \\ \tilde{n}^{(b)}(\mathbf{k}) \end{bmatrix}$$

Principe de Stein

Soit $f : \mathbb{R}^d \rightarrow \mathbb{R}$ une fonction continue, différentiable presque partout telle que :

$$\forall \boldsymbol{\theta} \in \mathbb{R}^d, \quad \lim_{\|\mathbf{t}\| \rightarrow +\infty} f(\mathbf{t}) \exp\left(-\frac{(\mathbf{t} - \boldsymbol{\theta})^\top (\boldsymbol{\Gamma}(\bar{\mathbf{n}}^{(b)}))^{-1} (\mathbf{t} - \boldsymbol{\theta})}{2}\right) = 0$$

$$E[|f(\bar{\mathbf{r}}^{(b)}(\mathbf{k}))|^2] < +\infty \quad \text{et} \quad E\left[\left\|\frac{\partial f(\bar{\mathbf{r}}^{(b)}(\mathbf{k}))}{\partial \bar{\mathbf{r}}^{(b)}(\mathbf{k})}\right\|\right] < +\infty.$$

On a, $E[f(\bar{\mathbf{r}}^{(b)}(\mathbf{k}))s^{(b)}(\mathbf{k})] =$

$$E[f(\bar{\mathbf{r}}^{(b)}(\mathbf{k}))r^{(b)}(\mathbf{k})] - E\left[\frac{\partial f(\bar{\mathbf{r}}^{(b)}(\mathbf{k}))}{\partial \bar{\mathbf{r}}^{(b)}(\mathbf{k})}\right]^\top E[\bar{\mathbf{n}}^{(b)}n^{(b)}].$$

Calcul des paramètres

- ▶ Dans notre cas $f : \mathbf{u} \mapsto \eta_{\lambda^{(b)}}(\|\mathbf{u}\|^{\beta^{(b)}}) (\mathbf{q}^{(b)})^\top \mathbf{u}$

Calcul des paramètres

- ▶ Dans notre cas $f : \mathbf{u} \mapsto \eta_{\lambda^{(b)}}(\|\mathbf{u}\|^{\beta^{(b)}}) (\mathbf{q}^{(b)})^\top \mathbf{u}$
- ▶ Afin de limiter la complexité de calcul, $\mathbf{q}^{(b)}$ peut être contraint à un sous-espace de dimension $d' \leq d$. Soit $\mathbf{P}^{(b)} \in \mathbb{R}^{d \times d'}$ une matrice dont les colonnes forment une base de ce sous-espace ; $\mathbf{q}^{(b)} = \mathbf{P}^{(b)} \mathbf{a}^{(b)}$ où $\mathbf{a}^{(b)} \in \mathbb{R}^{d'}$. Exemple :

$$\mathbf{P}^{(b)} = \begin{bmatrix} \mathbf{I}_{d'} \\ \mathbf{0} \end{bmatrix}$$

$\mathbf{I}_{d'}$: matrice identité de taille $d' \times d'$

Calcul des paramètres

- ▶ Dans notre cas $f : \mathbf{u} \mapsto \eta_{\lambda^{(b)}}(\|\mathbf{u}\|^{\beta^{(b)}}) (\mathbf{q}^{(b)})^\top \mathbf{u}$
- ▶ Afin de limiter la complexité de calcul, $\mathbf{q}^{(b)}$ peut être contraint à un sous-espace de dimension $d' \leq d$. Soit $\mathbf{P}^{(b)} \in \mathbb{R}^{d \times d'}$ une matrice dont les colonnes forment une base de ce sous-espace ; $\mathbf{q}^{(b)} = \mathbf{P}^{(b)} \mathbf{a}^{(b)}$ où $\mathbf{a}^{(b)} \in \mathbb{R}^{d'}$. Exemple :

$$\mathbf{P}^{(b)} = \begin{bmatrix} \mathbf{I}_{d'} \\ \mathbf{0} \end{bmatrix}$$

$\mathbf{I}_{d'}$: matrice identité de taille $d' \times d'$

- ▶ Dans ce cas $f : \mathbf{u} \mapsto \eta_{\lambda^{(b)}}(\|\mathbf{u}\|^{\beta^{(b)}}) (\mathbf{a}^{(b)})^\top (\mathbf{P}^{(b)})^\top \mathbf{u}$

Calcul des paramètres

- ▶ Dans notre cas $f : \mathbf{u} \mapsto \eta_{\lambda^{(b)}}(\|\mathbf{u}\|^{\beta^{(b)}}) (\mathbf{q}^{(b)})^\top \mathbf{u}$
- ▶ Afin de limiter la complexité de calcul, $\mathbf{q}^{(b)}$ peut être contraint à un sous-espace de dimension $d' \leq d$. Soit $\mathbf{P}^{(b)} \in \mathbb{R}^{d \times d'}$ une matrice dont les colonnes forment une base de ce sous-espace ; $\mathbf{q}^{(b)} = \mathbf{P}^{(b)} \mathbf{a}^{(b)}$ où $\mathbf{a}^{(b)} \in \mathbb{R}^{d'}$. Exemple :

$$\mathbf{P}^{(b)} = \begin{bmatrix} \mathbf{I}_{d'} \\ \mathbf{0} \end{bmatrix}$$

$\mathbf{I}_{d'}$: matrice identité de taille $d' \times d'$

- ▶ Dans ce cas $f : \mathbf{u} \mapsto \eta_{\lambda^{(b)}}(\|\mathbf{u}\|^{\beta^{(b)}}) (\mathbf{a}^{(b)})^\top (\mathbf{P}^{(b)})^\top \mathbf{u}$
- ▶ Les paramètres à déterminer sont alors $\lambda^{(b)}$, $\beta^{(b)}$ et $\mathbf{a}^{(b)}$ pour $\mathbf{P}^{(b)}$ donnée.

Algorithme

- ▶ **Etape 1** Risque quadratique en \mathbf{a} : calcul de \mathbf{a} pour λ et β fixés

Algorithme

- **Etape 1 Risque quadratique** en \mathbf{a} : calcul de \mathbf{a} pour λ et β fixés

- **Etape 2 Risque quadratique par morceaux** en $\lambda^{(b)}$

$$R(\lambda, \beta, \mathbf{a}) = E[\alpha_2(\mathbf{k})(\lambda^{(b)})^2 + \alpha_1(\mathbf{k})\lambda^{(b)} + \alpha_0(\mathbf{k})]$$

Généralisation de SUREShrink [Donoho *et al.*, 1995].

Réordonnancement : $\|\bar{\mathbf{r}}(\mathbf{k}_1)\| \geq \|\bar{\mathbf{r}}(\mathbf{k}_2)\| \geq \dots \geq \|\bar{\mathbf{r}}(\mathbf{k}_K)\|$

$\lambda \in I_{i_0}$ avec $i_0 \in \{1, \dots, K+1\}$ et

$$I_{i_0} = \begin{cases} [\|\bar{\mathbf{r}}(\mathbf{k}_1)\|^\beta, \infty) & \text{si } i_0 = 1 \\ [\|\bar{\mathbf{r}}(\mathbf{k}_{i_0})\|^\beta, \|\bar{\mathbf{r}}(\mathbf{k}_{i_0-1})\|^\beta) & \text{si } i_0 \in \{2, \dots, K\} \\ [0, \|\bar{\mathbf{r}}(\mathbf{k}_K)\|^\beta) & \text{si } i_0 = K+1. \end{cases}$$

Pour un $\beta^{(b)}$ fixé on détermine le $\lambda^{(b)}$ optimal

Algorithmme

- ▶ **Etape 1 Risque quadratique** en \mathbf{a} : calcul de \mathbf{a} pour λ et β fixés

- ▶ **Etape 2 Risque quadratique par morceaux** en $\lambda^{(b)}$

$$R(\lambda, \beta, \mathbf{a}) = E[\alpha_2(\mathbf{k})(\lambda^{(b)})^2 + \alpha_1(\mathbf{k})\lambda^{(b)} + \alpha_0(\mathbf{k})]$$

Généralisation de SUREShrink [Donoho *et al.*, 1995].

Réordonnancement : $\|\bar{\mathbf{r}}(\mathbf{k}_1)\| \geq \|\bar{\mathbf{r}}(\mathbf{k}_2)\| \geq \dots \geq \|\bar{\mathbf{r}}(\mathbf{k}_K)\|$

$\lambda \in I_{i_0}$ avec $i_0 \in \{1, \dots, K+1\}$ et

$$I_{i_0} = \begin{cases} [\|\bar{\mathbf{r}}(\mathbf{k}_1)\|^\beta, \infty) & \text{si } i_0 = 1 \\ [\|\bar{\mathbf{r}}(\mathbf{k}_{i_0})\|^\beta, \|\bar{\mathbf{r}}(\mathbf{k}_{i_0-1})\|^\beta) & \text{si } i_0 \in \{2, \dots, K\} \\ [0, \|\bar{\mathbf{r}}(\mathbf{k}_K)\|^\beta) & \text{si } i_0 = K+1. \end{cases}$$

Pour un $\beta^{(b)}$ fixé on détermine le $\lambda^{(b)}$ optimal

- ▶ **Etape 3 Recherche exhaustive** sur un ensemble réduit de valeurs pour trouver le meilleur $\beta^{(b)}$

Comparaisons

Acronyme	Description	Acronyme	Description
Biv.	Seuillage bivarié [Şendur, Selesnick, 2002]	Méthodes multivariées	
BLS-GSM	Bayesian Least Squares Gaussian Scale Mixture DWT décimée [Portilla, 2003]	ProbShrink (. × .)	Multiv. (images 3-bandes) DWT décimée voisinage (. × .) [Pizurica, 2006]
BLS-GSM + parent	BLS-GSM DWT décimée + coefficient parent [Portilla, 2003]	ProbShrink red. (. × .)	Multiv. (images 3-bandes) DWT non décimée + voisinage (. × .) [Pizurica, 2006]
BLS-GSM red.	BLS-GSM + pyramide orientée (transformée redondante) [Portilla, 2003]	Surevect	Appr. SURE étendue DWT décimée [Benazza, 2005]
Curvelets	Curvelets + Estim. par bloc redondance de 7.5 [Candès, 2006]		

Résultats comparatifs

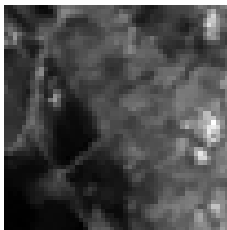
Non redondant

Canal	SNR _{init}	Biv	ProbShrink (3 × 3)	BLS-GSM	BLS-GSM + parent	Surevect	Méthode proposée
$b = 1$	4.664	11.12	11.18	11.32	11.42	12.95	13.24
$b = 2$	5.653	11.60	11.63	11.81	11.90	12.99	13.34
$b = 3$	4.926	12.82	12.77	13.01	13.11	13.30	13.65
Moy.	5.081	11.85	11.86	12.05	12.14	13.08	13.41
$b = 1$	14.66	17.32	17.05	17.67	17.81	19.16	19.71
$b = 2$	15.65	18.01	17.65	18.36	18.50	19.35	19.94
$b = 3$	14.93	18.32	17.93	18.64	18.74	18.61	19.27
Moy.	15.08	17.88	17.54	18.22	18.35	19.04	19.64

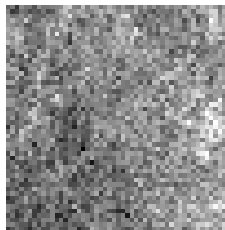
Redondant

Canal	SNR _{init}	Curvelets	BLS-GSM red + parent	ProbShrink red (3 × 3)	ProbShrink red (1 × 1)	Méthode proposée
$b = 1$	4.664	11.16	12.21	12.36	12.84	13.57
$b = 2$	5.653	11.64	12.69	12.77	13.14	13.65
$b = 3$	4.925	12.92	13.88	13.88	14.00	13.91
Moy.	5.081	11.91	12.92	13.00	13.33	13.71
$b = 1$	14.66	16.87	18.47	18.22	18.95	19.94
$b = 2$	15.65	17.50	19.12	18.80	19.38	20.16
$b = 3$	14.93	18.31	19.53	19.24	19.28	19.53
Moy.	15.08	17.56	19.04	18.76	19.20	19.88

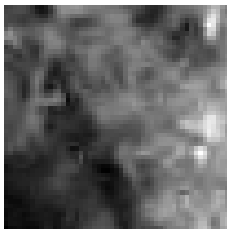
Résultats comparatifs



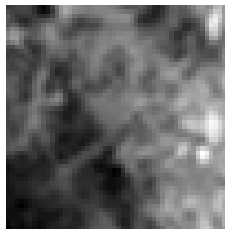
Originale



Bruitée



Probshrink



Dual-tree

Conclusions

- ▶ Applications de débruitage

Conclusions

- ▶ Applications de débruitage
 - ▶ combinaison d'estimateurs statistiques et décompositions directionnelles

Conclusions

- ▶ Applications de débruitage
 - ▶ combinaison d'estimateurs statistiques et décompositions directionnelles
 - ▶ extensions à des bruits de Poisson, des mélanges, au défloutage
- ▶ Codes, démos
 - ▶ <https://www.projet-plume.org/relier/surelet-deconv>
 - ▶ <http://www.greyc.ensicaen.fr/~jfadili/software.html>
 - ▶ <http://www.laurent-duval.eu/misc-research-codes.html>
- ▶ Perspectives

Conclusions

- ▶ Applications de débruitage
 - ▶ combinaison d'estimateurs statistiques et décompositions directionnelles
 - ▶ extensions à des bruits de Poisson, des mélanges, au défloutage
- ▶ Codes, démos
 - ▶ <https://www.projet-plume.org/relier/surelet-deconv>
 - ▶ <http://www.greyc.ensicaen.fr/~jfadili/software.html>
 - ▶ <http://www.laurent-duval.eu/misc-research-codes.html>
- ▶ Perspectives
 - ▶ erreurs : de vraies mesures pratiques

Conclusions

- ▶ Applications de débruitage
 - ▶ combinaison d'estimateurs statistiques et décompositions directionnelles
 - ▶ extensions à des bruits de Poisson, des mélanges, au défloutage
- ▶ Codes, démos
 - ▶ <https://www.projet-plume.org/relier/surelet-deconv>
 - ▶ <http://www.greyc.ensicaen.fr/~jfadili/software.html>
 - ▶ <http://www.laurent-duval.eu/misc-research-codes.html>
- ▶ Perspectives
 - ▶ erreurs : de vraies mesures pratiques
 - ▶ hybridation étendue : représentations, statistiques et optimisation

Conclusions

- ▶ Applications de débruitage
 - ▶ combinaison d'estimateurs statistiques et décompositions directionnelles
 - ▶ extensions à des bruits de Poisson, des mélanges, au défloutage
- ▶ Codes, démos
 - ▶ <https://www.projet-plume.org/relier/surelet-deconv>
 - ▶ <http://www.greyc.ensicaen.fr/~jfadili/software.html>
 - ▶ <http://www.laurent-duval.eu/misc-research-codes.html>
- ▶ Perspectives
 - ▶ erreurs : de vraies mesures pratiques
 - ▶ hybridation étendue : représentations, statistiques et optimisation
 - ▶ meilleure percolation des ondelettes dans les problèmes concrets

Références

- ▶ J.-C. Pesquet and D. Leporini. *A new wavelet estimator for image denoising*, in *IEE Sixth Int. Conf. Im. Proc. Appl.*, volume 1, pages 249–253, Dublin, Ireland, Jul. 14-17 1997.
- ▶ C. Chaux, L. Duval et J.-C. Pesquet, *Image Analysis Using a Dual-Tree M -Band Wavelet Transform*, *IEEE Trans. on Image Proc.*, Aug. 2006 (pdf).
- ▶ C. Chaux, J.-C. Pesquet et L. Duval, *Noise Covariance Properties in Dual-Tree Wavelet Decompositions*, *IEEE Trans. on Inf. Theory*, Dec. 2007 (pdf).
- ▶ C. Chaux, L. Duval, A. Benazza-Benyahia et J.-C. Pesquet, *A Nonlinear Stein Based Estimator for Multichannel Image Denoising*, *IEEE Trans. on Signal Proc.*, Aug. 2008 (pdf).
- ▶ J. Gauthier, L. Duval, and J.-C. Pesquet *Optimization of synthesis oversampled complex filter banks*, *IEEE Trans. Signal Process.*, Oct. 2009 (pdf).
- ▶ J.-C. Pesquet, A. Benazza-Benyahia et C. Chaux, *A SURE Approach for Digital Signal/Image Deconvolution Problems*, *IEEE Trans. on Signal Proc.*, Dec. 2009 (pdf),
- ▶ L. Jacques, L. Duval, C. Chaux, G. Peyré, *A Panorama on Multiscale Geometric Representations, Intertwining Spatial, Directional and Frequency Selectivity*, *Signal Processing*, Dec. 2011 (pdf).

Références

- ▶ D. L. Donoho and I. M. Johnstone *Adapting to unknown smoothness via wavelet shrinkage*, J. Am. Stat. Assoc., Dec. 1995.
- ▶ M. Raphan and E. P. Simoncelli *Empirical Bayes least squares estimation without an explicit prior*, Technical Report TR2007-900, Courant Institute of Mathematical Sciences, NYU, 2007.
- ▶ F. Luisier, T. Blu, and M. Unser *A new SURE approach to image denoising: Inter-scale orthonormal wavelet thresholding*, IEEE Trans. Image Process., Mar. 2007.
- ▶ T. Blu and F. Luisier, *The SURE-LET approach to image denoising*, IEEE Trans. Image Process., Nov. 2007.
- ▶ M. Raphan and E.P. Simoncelli *Optimal denoising in redundant representations*, IEEE Trans. Image Process., Aug. 2008.
- ▶ M. Raphan and E. P. Simoncelli *Learning least squares estimators without assumed priors or supervision*, Technical Report TR2009-923, Howard Hughes Medical Institute, Center for Neural Science, New York University, Aug. 2009.
- ▶ C. Chesneau, M. J. Fadili, and J.-L. Starck, *Stein Block Thresholding For Image Denoising*, Appl. Comp. Harm. Analysis, Jan. 2010
- ▶ G. Peyré, *A Review of Adaptive Image Representations*, J. Sel. Topics Signal Proc., 2011